

中央大学理工学部 正員 林 泰造  
中央大学大学院 学生員 ○柴原 哲也

### 1.はじめに

発電所から放出される温排水は、海底勾配をもつところに放出されることが多く、海底勾配が温排水の拡散に与える影響を少なくないと思われる。本研究は、温噴流が海底勾配のない所に放出された場合と、海底勾配のある所に放出された場合の各拡がり状態を比較することより、海底勾配が表面放出温噴流の拡がりに与える影響を明らかにするものである。

### 2.実験装置および方法

実験に用いた水槽は、図-1に示されるように長さ12m、幅5.4m、高さ0.5mの平面水槽であり、放出口は5×5cmの矩形水路で図示の位置に取り付けられている。放出口敷面の高さは水槽底面から0.4mとなる。勾配は、図-1の中の点線の部分に設けた。水温の測定には宝工業社製のサーミスターを1.0cm間隔で10本、7シ型に鉛直方向に配置したものと4セット用い、これらを1本のフレームに取り付けトラバースさせて各点の測定を行なう。データは、同社製のA-D変換器内蔵、プリンタ付きのデータ集録装置K-700を使用して自動記録させた。以下の説明にあたり座標系は図-2に示すものを用いることとする。

### 3.実験結果および考察

RUN1は、海底勾配を設けずに行なった実験であり、RUN2は、勾配 $I=15\%$ の海底勾配を設けて行なった実験である。放出温噴流の内部フールード数及びクロスカレント比は両場合において殆ど同一になるようにして実験を行なう。実験条件は表-1の通りである。

図-3(a)は海底勾配のない場合、(b)は海底勾配のある場合の各 $x/A=1$ 及び11の断面内の等上昇温度図であり、Aは放出口断面積、丸印(点)は上昇水温の測定点である。ここにいう“海底勾配がない場合”とは温噴流が水深の十分に大きい水域に放出された場合に当り、また“海底勾配がある場合”とは浅水海域に放出される場合のものに当る。

図-3(a)と(b)とを比べてみると、 $x/A=1$ の断面においては、(b)では浅水域の海底の存在の影響は顕著であり、温噴流はその下方への拡がりが阻止され、水面と海底との間に挟みつけられ(a)に比べてより左右(y方向)に拡がっており、クロスカレントのかなり上流側にまで張り出しあて拡がっている。また(b)において $4T/4t_0$ の値が0.2以上の領域の等上昇温度線は海底に至るまで殆ど鉛直になってしまい、(a)において存在するような下方からの連行希釈が殆どないことを示している。また(b)においてはクロスカレントは、温噴流の慣性によりその進路がこの $x/A=1$ の断面において殆ど完全にブロックされていることが認められる。

図-3の $x/A=11$ の断面においては、(a)と(b)とでは $4T/4t_0$ の値が0.3程度以上の部分の存在位置は余り変わらないが温噴流と入射するクロスカレントとの境界面の傾きが異っており、(b)の方がずっと緩い。またこの境界面上における法線方向の温度勾配が(a)におけるより緩やかである。これは(b)においては $x/A=1$ の断面において見られたよう、xの値の初期における温噴流が水面と海底との間に挟みつけられてクロスカレントの上流側にまで中の膨む拡がりの構造がxの大きい所でも残っていることによると考えられる。

次に図-4は海底勾配のない場合とある場合における $y/A=0$ および10の各断面における上昇水温分布を対比し

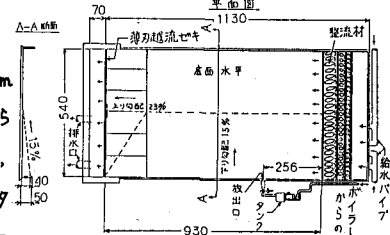


図-1 実験装置

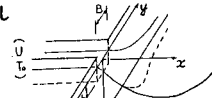


図-2 座標系

表-1 実験条件

	RUN-1	RUN-2
放出温水の温度 $T_0$	30.8 °C	19.7 °C
放出場の温度 $T_a$	18.5 °C	5.3 °C
放出上昇温度 $4T_0$	12.3 °C	14.4 °C
放出流量 $Q_0$	0.360 l/s	0.248 l/s
放出温水の流速 $U$	14.3 cm/s	9.91 cm/s
放出場の平均流速 $V_a$	3.75 cm/s	2.75 cm/s
放出温水の内層フールード数 $F_F$	3.66	3.51
放出温水のレイノルズ数 $Re$	8892	4028
クロスカレント比 $V_a/U$	0.261	0.278
放出口アスペクト比 $h/B$	1.00	1.00

て示したものである。

図-4で $y/\sqrt{A}=0$ の断面においては(a)に比べて(b)の方が温噴流の温度上昇範囲は沖の方向により長く伸びている。これは(b)の場合には、海底の存在により、放出口付近における下方からの冷水の運行が抑制されたためである。

図-4で $y/\sqrt{A}=10$ の断面においても(a)に比べて(b)の方が温噴流の拡がり範囲はやはり全体的に沖方向により伸びているが、さらにこのほかに(b)においては $x/\sqrt{A}=0$ の付近で水温の上昇範囲が下方まで及んでいることが注目される。これは(b)の場合には図-3の $x/\sqrt{A}=1$ の断

面について認めたように $x/\sqrt{A}$ の値が小さい範囲では放出温噴流がその慣性によりクロスカレントをブロックし、 $y>0$ の水域を遮蔽するためそこでは(a)の場合よりも希釈作用が小さくなっているためであると考えられる。

以上のように浅海域に放出された温噴流の拡がりの構造は十分に水深の大きい海域に放出された場合の拡がりのそれとその細部において随分と異っているので、十分に水深の大きい場合についてのいわゆる“断面積分型モデル”による数値計算とはかなり実験結果とかけ離れた結果しか得られないのではないかというようにはじめは考えられないのであるが、浅海域の場合においてもこの断面積分型モデルにおいて下方からの運行係数 $\alpha_2$ を小さくとって計算を行えば温噴流の表面拡がりの全般的な形状については意外と実験に近い結果を得ることができるようである。図-6は断面積分型モデルとしてShirazi-Davisのモデルをとり上げ $\alpha_2=0.045$ ,  $\alpha_3=0.01$ ,  $C_D=1.0$  ( $\alpha_4$ :木平運行係数,  $G_0$ :噴流の抵抗係数)として計算したものである。この例からも見られるように、 $\Delta T/T_0$ の値が0.2程度以上の温噴流のいわば主要部分をなす範囲の拡がりについてでは、浅海域の場合にも断面積分モデルによりかなりよく説明がつくといえるが $\Delta T/T_0$ の値が0.2程度以下の拡がりの範囲まで問題にせねばならない時には、これは今のところ断面積分モデルの適用範囲の限界をこえることと言わねばならないであろう。もし $\Delta T/T_0$ の値が0.1程度までも問題とせねばならないときには断面積分モデルの精度のもう一段の精度の改善が必要となる。筆者等は今後 $\Delta T/T_0$ の値が0.2前後の上昇温度の拡がり範囲のより詳細な研究のためより測点の間隔を細かくして実験を行い、またその範囲をも対象としように理論の改善に向けて研究していくつもりである。

4. 謝辞：本研究の遂行に対して熱心に協力せられた中央大学58年度学部卒研究生 関村信夫, 柏倉清一, 前田敏也, 市川梓の4君に深甚なる謝意を表する。

5. 参考文献：林・大橋・朱雀・関口, 第27回水講論文集, 1983, pp. 123~129

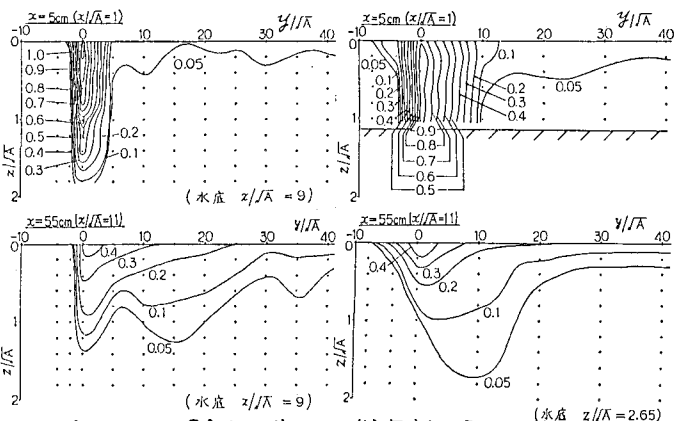


図-3 海岸線に平行な鉛直断面内の等温線図( $\Delta T/T_0$ )

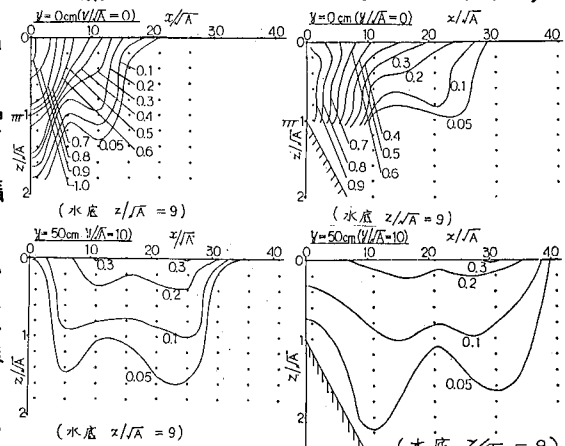


図-4 海岸線に垂直な鉛直断面内の等温線図( $\Delta T/T_0$ )

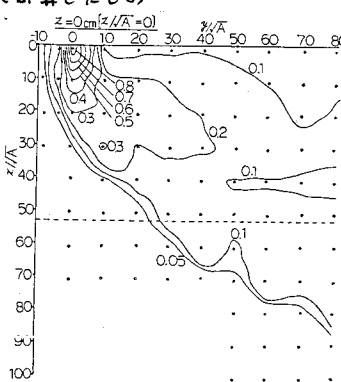


図-5 海底勾配のある場合の温噴流の上昇水温分布(RUN2)

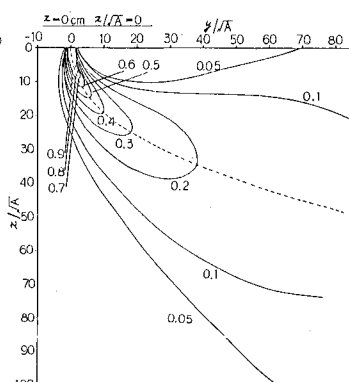


図-6 “積分型モデル”による数値計算結果